

# Corpo Negro

Gonalo Quinta n<sup>o</sup> 65680, Fernando Rodrigues n<sup>o</sup>66326, Teresa Jorge n<sup>o</sup>65722 e Vera Patr cio n<sup>o</sup>65726

*Laborat rio de Complementos de Electromagnetismo e Termodin mica*  
*Mestrado Integrado em Engenharia F sica Tecnol gica 2009/2010*  
*Instituto Superior T cnico (IST)*

(Dated: 16 de Abril de 2010)

Foi estudada a radia o de um corpo negro usando como modelo uma lâmpada de filamento de tungst nio. A constante de Wien calculada foi de  $(4,21761 \pm 0,63870) \text{ E-03 mK}$ . Foi feito um ajuste gr fico dos pontos experimentais   lei de Planck, que se ajustou parcialmente aos resultados obtidos. A partir do ajuste gr fico   lei de Stefan foi obtida uma depend ncia da  $(4,8274 \pm 0,2491)$  e pot ncia da temperatura e um valor do produto  $\epsilon\sigma$  de  $1.478\text{E-08}$ . **EVENTUALMENTE TEM QUE SER MUDADO.** A partir do valor correcto de  $\sigma$  obtemos um  $\epsilon$  para o filamento de 0,26. As leis de Kirchoff foram verificadas experimentalmente.

## I. INTRODU O

Um corpo negro   definido como um objecto que absorve toda a radia o que sobre ele incide, emitindo apenas em fun o da sua temperatura. O modelo usado para o descrever   o de uma cavidade com uma pequena abertura, estando as suas paredes revestidas de osciladores electromagn ticos. A radia o que entra pela abertura   reflectida sucessivamente nas suas paredes, at  ser totalmente absorvida e se atingir o equil brio t rmico. Nesse caso, a radia o emitida pela cavidade depende apenas da temperatura das suas paredes, j  que que   originada apenas pelos osciladores, sendo cont nuo em todo o espectro [1]. O presente trabalho destina-se a estudar algumas das propriedades dessa radia o.

Para o estudo da energia absorvida, define-se a grandeza absorv ncia como:

$$Q = \frac{E_{abs}}{E_{inc}} \quad (1)$$

$E_{abs}$  - Energia absorvida (J)

$E_{inc}$  - Energia incidente (J)

Pela defini o de corpo negro acima exposta se tem que a sua absorv ncia ser  1. J  para o estudo da energia emitida se tem a emissividade definida como

$$e = \frac{I}{I_n} \quad (2)$$

$I$  - Pot ncia emitida por unidade de  rea ( $W/m$ )

$I_n$  - Pot ncia emitida por unidade de  rea por um corpo negro   mesma temperatura ( $W/m$ )

em que  $I_n$  corresponde ao m ximo que   poss vel irradiar, pelo que  $e \leq 1$ , sendo o caso limite (igual a 1) o do corpo negro. Na verdade, esta grandeza depende da temperatura do corpo, do  ngulo de emiss o e do comprimento de onda analisado, mas ir  assumir-se que   constante. O teorema de Kirchoff relaciona estas duas quantidades, afirmando que, em equil brio t rmico, a emissividade e absorv ncia de um corpo s o iguais. [2] Pode-se assim afirmar que materiais que s o bons reflectores emitir o pouco e vice-versa.

Experimentalmente, sabe-se que a pot ncia irradiada por  rea por um corpo negro vai apenas depender da sua

temperatura, pela rela o conhecida como lei de Stefan-Boltzman [4]

$$I_n = \sigma T^4 \quad (3)$$

$\sigma$  - constante de Stefan-Boltzman =  $5,670400 \times 10^{-8} \text{ Js}^{-1} \text{ m}^{-2} \text{ K}^{-4}$   
ou, para corpos que n o sejam negros, obt m-se directamente de (2) que

$$I_n = \epsilon \sigma T^4 \quad (4)$$

de onde se conclui que a energia irradiada por um corpo negro e outro qualquer difere apenas na intensidade. Ainda por vias experimentais,   sabido que o comprimento de onda da energia emitida para a qual a intensidade   m xima, se relaciona com a temperatura do corpo pela rela o conhecida como lei de Wien [3]

$$\lambda_{max} = \frac{B}{T} \quad (5)$$

$B$  - Constante de Wien =  $2.8977685 \times 10^{-3} \text{ mK}$

que explica o facto dos corpos exibirem cores diferentes consoante a temperatura a que se encontram.

No final do s c.XIX, conhecidas estas duas leis, tentou-se explicar o comportamento da radia o emitida pelo corpo negro, tendo-se chegado   express o cl ssica

$$U_\nu = \frac{8\pi\nu^2}{c^3} kT \quad (6)$$

$U_\nu$  - Densidade de energia emitida numa dada frequ ncia ( $W/m^3$ )

$\nu$  - Frequ ncia da radia o emitida (Hz)

$c$  - velocidade da luz no v cuo (m/s)

$k$  - constante de Stefan-Boltzman ( $\text{Js}^{-1} \text{ m}^{-2} \text{ K}^{-4}$ )

$T$  - temperatura do corpo (K)

tamb m conhecida como lei de Rayleigh-Jeans. No entanto, embora a express o estivesse aproximadamente de acordo com os resultados experimentais para  $\lambda \rightarrow \infty$ , o mesmo n o se verificava no limite  $\lambda \rightarrow 0$ , visto que se previa uma intensidade infinita quando na verdade era nula.

Foi Planck que ultrapassou esta dificuldade, conhecida como cat strofe do ultravioleta, propondo o que viria a constituir a base do modelo qu ntico, assumindo que

para cada frequência só seriam possíveis determinados valores de energia, contrariamente ao espectro contínuo clássico. Assim, a densidade de energia por frequência seguiria a chamada distribuição de Planck, dada por:

$$U_\nu = \frac{8\pi\nu^2}{c^3} \frac{h\nu}{e^{\frac{h\nu}{kT}} - 1} \quad (7)$$

$h$  - constante de Planck =  $6,626 \times 10^{-34}$  (J/s)

Esta expressão está de perfeito acordo com os dados experimentais, sendo possível reencontrar a lei de Wien, dada pelo ponto nulo da primeira derivada, e de Stefan-Boltzman, que corresponde à sua integração em todos os comprimentos de onda. Deste modo, é também possível encontrar os valores das constantes

$$B = \frac{hc}{4,96k} \quad \text{e} \quad \sigma = \frac{2\pi^5 k^4}{15c^5 h^5} \quad (8)$$

## II. EXPERIÊNCIA REALIZADA

### A. Aspectos Gerais

O modelo de corpo negro usado foi uma lâmpada de filamento de tungstênio. Admitindo-se que a resistência da lâmpada e a resistividade do tungstênio são proporcionais e sabendo o valor da resistividade para 300K, o valor da resistividade a qualquer temperatura pode ser obtido através de:

$$\frac{\rho(T)}{\rho(300K)} = \frac{R_T}{R_{300K}} \quad (9)$$

$\rho(T)$  - resistividade à temperatura  $T$  ( $\Omega/m$ )

$R$  - resistência à temperatura  $T$  ( $\Omega$ )

$R_{300K}$  - resistência à temperatura 300K = 0.278  $\Omega$

$T$  - temperatura (K)

As temperaturas correspondentes a cada resistividade encontram-se tabeladas. A resistência é determinada aplicando a Lei de Ohm.

O comprimento de onda da radiação obtém-se com recurso a uma tabela que contém o comprimento de onda referente a cada índice de refração. Este é calculado para cada medição através da equação (10), deduzida a partir da lei de Snell

$$n = \sqrt{\sin(\theta)^2 + \left( \frac{\sin(\alpha + \theta + \delta) + \cos(\alpha)\sin(\theta)}{\sin(\alpha)} \right)^2} \quad (10)$$

$\theta$  - ângulo de incidência

$\alpha$  - ângulo interior do prisma

$\delta$  - ângulo de desvio

É necessário calibrar o goniómetro para a determinação do ângulo  $\delta$ , que é definido como o ângulo entre o feixe a ser medido e a normal à face de incidência do prisma. Este ângulo é calculado fazendo a diferença entre o ângulo inicialmente obtido através do alinhamento

do feixe reflectido com o feixe incidente, e o ângulo registado para cada medição. Já o ângulo  $\theta$ , constante ao longo de todas as medições, é obtido fixando uma posição para o prisma, que neste caso corresponde ao alinhamento para a radiação verde.

### B. Verificação da Lei de Wien e de Planck

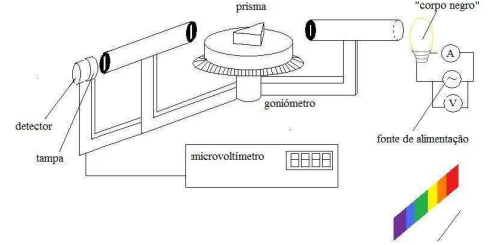


Figura 1. Determinação da intensidade por comprimento de onda

Usando o equipamento esquematizado na figura 1 e alterando sucessivamente a posição do detector registam-se as intensidades referentes a diferentes comprimentos de onda, iniciando-se as medições na radiação verde e terminando quando as intensidades deixam de ser significativas. Este procedimento é feito para uma tensão de 6, 9 e 12V, tendo o cuidado de deixar estabilizar a temperatura da lâmpada. Para verificar a Lei de Wien são seleccionados os comprimentos de onda correspondentes à intensidade máxima e traça-se um gráfico destes em função da temperatura a que o corpo negro se encontrava - equação (5). A constante de Boltzman será a constante de proporcionalidade inversa entre os dois. Os resultados são também comparados com a curva teórica esperada para a intensidade de radiação de um corpo negro - lei de Planck. Essa comparação é feita graficamente, representando a intensidade medida em função do comprimento de onda e normalizando o máximo ao máximo teórico, e comparando essa curva com a curva teórica, dada pela equação (11).

$$I_\lambda \Delta\lambda = \frac{2\pi hc^2}{\lambda^5} \frac{1}{e^{\frac{hc}{kT\lambda}} - 1} \Delta\lambda \quad (11)$$

### C. Verificação da Lei de Stefan

Para uma distância fixa, a intensidade total da luz radiada é medida para diferentes tensões (que correspondem a diferentes temperaturas da lâmpada) aplicadas, usando a montagem da figura 2. A lei de Stefan verifica-se graficamente, ajustando as intensidades e temperaturas obtidas não à equação (4), mas à sua forma logaritmica:

$$\log(I) = \log(\epsilon\sigma) + 4\log(T) \quad (12)$$

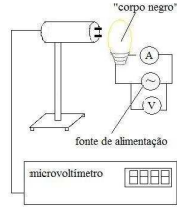


Figura 2. Determinação da intensidade total

A constante de stefan corresponde à ordenada na origem e o declive à dependência da quarta potência da temperatura.

#### D. Verificação da Lei de Kirchoff

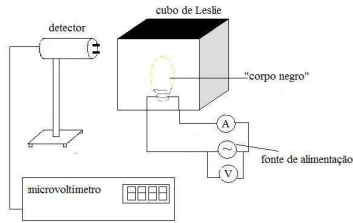


Figura 3. Esquema de montagem para comparação de emissividades

A verificação da Lei de Kirchoff é feita recorrendo a um cubo de Leslie: um cubo com as 4 faces laterais revestidas com diferentes materiais - preto, metálico, branco e branco fosca - que têm diferentes poderes de absorção de emissão. Para uma dada temperatura, é registada a intensidade luminosa radiada por cada face.

### III. RESULTADOS

#### Calibração do goniómetro

Ângulo  $\alpha$  -  $60^\circ$

Ângulo da normal -  $239^\circ 30' \pm 2''$

Ângulo de incidência -  $194^\circ 60' \pm 2''$

Tabela I. Dados da intensidade e tensão da lâmpada para determinação da sua temperatura

V (V)	$e_V$ (V)	I (A)	$e_I$ (A)
6,01	0,01	1,17	0,01
9,11	0,01	1,45	0,01
12,16	0,01	1,68	0,01

Tabela II. Dados da intensidade para cada ângulo de desvio para 6, 9 e 12 V

$\delta_{6V}^a$	$I_{6V}(V)^b$	$\delta_{9V}$	$I_{9V}(V)$	$\delta_{12V}$	$I_{12V}(V)$
$172^\circ 20'$	9,00E-07	$172^\circ 0'$	8,00E-07	$171^\circ 40'$	2,00E-7
$173^\circ 0'$	2,20E-06	$172^\circ 40'$	3,00E-06	$172^\circ 0'$	3,00E-06
$173^\circ 20'$	3,10E-06	$173^\circ 0'$	6,00E-06	$172^\circ 40'$	1,10E-05
$174^\circ 0'$	1,26E-05	$173^\circ 40'$	2,05E-05	$173^\circ 0'$	2,27E-05
$174^\circ 20'$	1,68E-05	$174^\circ 0'$	3,46E-05	$173^\circ 40'$	4,38E-05
$175^\circ 0'$	3,22E-05	$174^\circ 40'$	6,80E-05	$174^\circ 0'$	7,00E-05
$175^\circ 20'$	3,36E-05	$175^\circ 0'$	7,75E-05	$174^\circ 40'$	7,20E-05
$175^\circ 40'$	3,25E-05	$175^\circ 40'$	6,77E-05	$175^\circ 0'$	8,10E-05
$176^\circ 0'$	2,45E-05	$175^\circ 20'$	7,75E-05	$175^\circ 40'$	1,02E-04
$176^\circ 20'$	1,79E-05	$176^\circ 0'$	5,17E-05	$176^\circ 0'$	8,40E-05
$177^\circ 0'$	5,50E-06	$176^\circ 40'$	2,10E-05	$176^\circ 40'$	3,59E-05
$177^\circ 20'$	2,30E-06	$177^\circ 0'$	1,12E-05	$177^\circ 0'$	1,81E-05
		$177^\circ 40'$	1,60E-06	$177^\circ 40'$	5,00E-06

<sup>a</sup> Erro  $\pm 1''$

<sup>b</sup> Erro  $\pm 0,3E-05V$

Tabela III. Dados da intensidade para diferentes tensões aplicadas à lâmpada

$V_{lâmpada}(V)$	$e_V(V)$	$I_{lâmpada}(A)$	$e_I(A)$	$V_{medida}(V)$	$e_V(V)$
5,1	0,01	1,08	0,01	0,00405	0,00003
6	0,01	1,17	0,01	0,00634	0,00003
7,08	0,01	1,28	0,01	0,00826	0,00003
8,06	0,01	1,36	0,01	0,01019	0,00003
9,1	0,01	1,45	0,01	0,01247	0,00003
10,03	0,01	1,53	0,01	0,01458	0,00003
11,1	0,01	1,61	0,01	0,01725	0,00003
12,01	0,01	1,68	0,01	0,01961	0,00003

### IV. ANÁLISE DOS RESULTADOS

#### A. Lei de Planck

A temperatura da lâmpada foi determinada como descrito nos Aspectos Gerais da Secção II usando os valores da tabela I, estando os resultados na tabela V.

Procedeu-se ao ajuste dos dados da tabela II à expressão (11), após os ângulos terem sido convertidos em comprimentos de onda usando a equação (10). Foram usadas para esse ajuste o valor da temperatura calculado anteriormente assim como valores que melhor se ajustavam aos pontos, encontrando-se os resultados nas figuras 4, 5 e 6.

#### B. Lei de Wien

Com os máximos de intensidade da Tabela II, mais uma vez convertendo os ângulos em comprimento de onda, foi feito o ajuste gráfico à função (5), estando o resultado obtido na figura 7. O factor B obtido foi de  $(4,21761 \pm 0,63870) E-03$  mK.

Tabela IV. Dados da intensidade irradiada pelas superfícies do cubo de Leslie a 117°C

Preto	Espelhado	Branco	Branco Fosco	erro
1,11E-02 V <sup>a</sup>	7,70E-04 V	2,86E-03 V	1,09E-02	0,3E-05V

<sup>a</sup> Erro  $\pm 0,3E-05V$

Tabela V. Temperatura da lâmpada calculada para 6, 9 e 12V, respectivamente

R( $\Omega$ )	$e_R(\Omega)$	$\rho(\Omega m)$	$e_\rho(\Omega m)$	T(K)	$e_T(K)$
5,13	0,05	11,45	0,11	1883,25	14,17
6,28	0,05	13,79	0,11	2193,15	13,15
7,24	0,05	15,74	0,11	2435,04	12,23

### C. Lei de Stefan

Usando os dados da Tabela III procedeu-se ao ajuste da intensidade em função da temperatura de acordo com a expressão (12), estando os resultados na figura 8. O declive obtido foi de  $4.8274 \pm 0.2491$  e o valor de  $\text{Log}(\epsilon\sigma)$  de  $-18.0288 \pm 0.8282$ , a que corresponde um valor de  $\epsilon\sigma$  de  $1.478E-08$ . **cuidado! logaritmo de base 10 transformado em neperiano** Dividindo pelo valor exacto de  $\sigma$  obtemos um  $\epsilon$  de 0,26.

## V. CONCLUSÃO E CRÍTICAS

[1] *Introdução à Física* by J. D. Deus, *et al.*, McGraw-Hill, 2000

[2] [http://en.wikipedia.org/wiki/Kirchhoff's\\_law\\_of\\_thermal\\_radiation](http://en.wikipedia.org/wiki/Kirchhoff's_law_of_thermal_radiation)

[3] [http://en.wikipedia.org/wiki/Wien's\\_displacement\\_law](http://en.wikipedia.org/wiki/Wien's_displacement_law)

[4] [http://en.wikipedia.org/wiki/Stefan-Boltzmann\\_law](http://en.wikipedia.org/wiki/Stefan-Boltzmann_law)

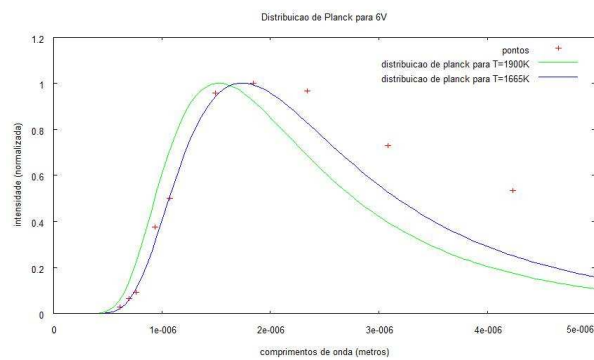


Figura 4. Ajuste 6V

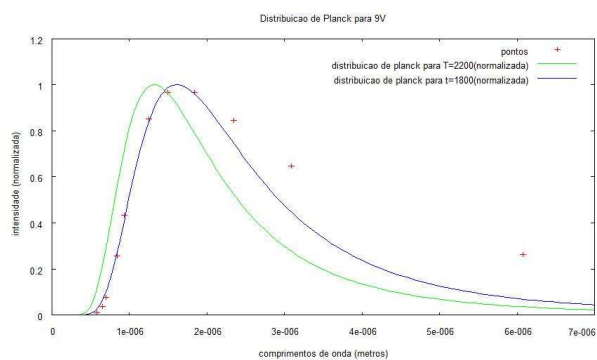


Figura 5. Ajuste 9V

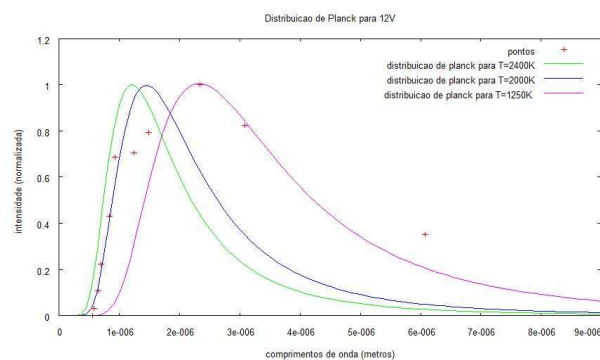


Figura 6. Ajuste 12V

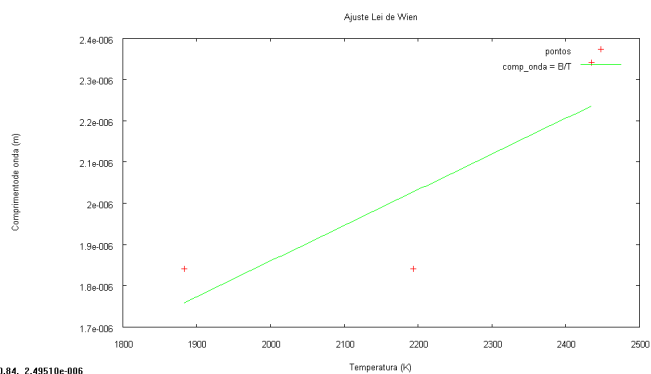


Figura 7. Ajuste lei de Wien

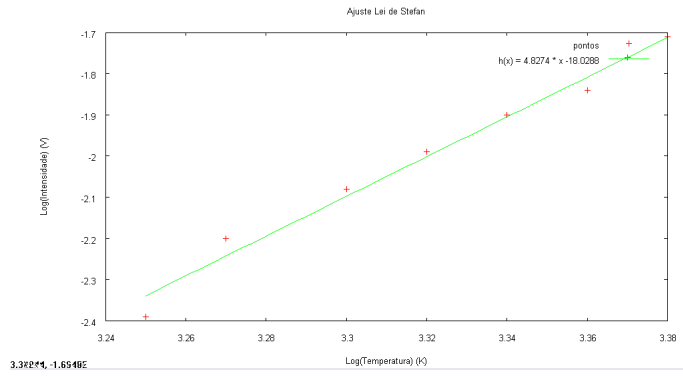


Figura 8. Lei de Stefan